

# 高エネルギー動作・準3準位固体レーザの 最適動作条件の検討

Studies on optimum designs of high-energy, quasi-three-level solid-state lasers

新妻洋平<sup>1</sup>, 佐藤篤<sup>1</sup>, 寺崎知広<sup>1</sup>, 浅井和弘<sup>1</sup>, 石井昌憲<sup>2</sup>, 水谷耕平<sup>2</sup>, 板部敏和<sup>2</sup>  
Y. Niituma<sup>1</sup>, A. Sato<sup>1</sup>, T. Terasaki<sup>1</sup>, K. Asai<sup>1</sup>, S. Ishii<sup>2</sup>, K. Mizutani<sup>2</sup>, and T. Itabe<sup>2</sup>

<sup>1</sup>東北工業大学, <sup>2</sup>独立行政法人・情報通信研究機構(NICT)

<sup>1</sup>Tohoku Institute of Technology

<sup>2</sup> National Institute of Information and Communications Technology (NICT)

## Abstract

Quasi-three-level solid-state lasers are useful as lidar transmitters operating in the near-infrared and mid-infrared wavelength regions. We have investigated an optimum design of a quasi-three-level Nd:YVO<sub>4</sub> laser capable of high-energy output. Preliminary experiments were performed by using a side-pumped Nd:YAG laser in four-level operation. A Q-switched output energy of 42 mJ was obtained at 1064 nm. At present, research continues to achieve quasi-three-level operation of the Nd:YVO<sub>4</sub> laser.

## 1. はじめに

従来より、大気観測のためのレーザレーダ(ライダー)用光源には4準位動作のNd:YAGレーザが多く用いられている。しかしながら、Nd:YAGレーザの基本波及びその高調波だけでは測定対象が限られる。そのため、例えは差分吸収ライダーのように気体分子の吸収線を利用したライダーでは、準3準位動作の近赤外または中赤外の固体レーザなどが使用されている。この準3準位レーザはレーザ下準位イオンによるレーザ光の再吸収が起こるため、発振閾値が高いという性質がある<sup>1)</sup>。

ライダー観測では、測定対象物や測定方法の違いにより、パルスエネルギーは低いが繰り返し周波数が高いレーザを用いる場合と、繰り返し周波数は低いがパルスエネルギーが高いレーザを用いる場合とがある。低エネルギー動作では一回のパルス発生に使用されるイオン(反転分布)は少ないため、再吸収損失を抑えるために有利な比較的小さな結晶を用いてレーザを構成することが可能である。しかしながら、高エネルギー動作では、一度に大量のイオン(反転分布)を必要とするため、比較的大きな体積の結晶が必要となる。そのため、サイドポンプ型のロッドレーザを使用するが多く、この場合レーザロッドでの再吸収損失は高くなる。このことが、準3準位レーザの設計を難しくする要因の一つとなっている。そこで、本研究では準3準位動作のNd:YVO<sub>4</sub>レーザに注目し、その最適動作条件について検討を行った。

## 2. 準3準位レーザの特徴

表1は代表的な準3準位レーザの結晶と発振波長を示す。このうち、波長946nmで発振するNd:YAGレーザは水蒸気の吸収スペクトルのピークを利用したライダーへの応用が可能であり、また、波長2051nmで発振するTm,Ho:YLFレーザはCO<sub>2</sub>を測定対象とした差分吸収ライダーに利用されている。波長1.5μm帯のEr系レーザは光通信

表1 代表的な準3準位レーザ<sup>2)~7)</sup>

結晶	発振波長(nm)
Nd:YVO <sub>4</sub>	914
Nd:YAG	946
Yb:YAG	1030
Er:glass	1540
Tm:YAG	2013
Tm,Ho:YLF	2051

用のファイバー技術、検出器技術が利用できるという利点を有しており、コヒーレントライダーの光源として注目されている。

図1は準3準位レーザのエネルギー遷移過程を示す。E<sub>1</sub>からE<sub>3</sub>に励起されたレーザイオンは、非放射遷移により直ちにE<sub>2</sub>へと緩和し、E<sub>2</sub>とE<sub>1</sub>との間で、レーザ遷移が起こる。ここで、E<sub>2</sub>及びE<sub>1</sub>はそれぞれ複数のシタルク準位からなっており、レーザ上準位E<sub>u</sub>はE<sub>2</sub>に、レーザ下準位E<sub>l</sub>及び基底準位E<sub>g</sub>はE<sub>1</sub>に含まれる。準3準位レーザは励起光子とレーザ光子のエネルギー変換効率(量子効率)が高く、非常に効率よく発振できる特徴がある。しかしながら、レーザ下準位が基底準位に近いため、特に室温付近では、レーザ光の再吸収により発振閾値が高くなるという特徴がある。

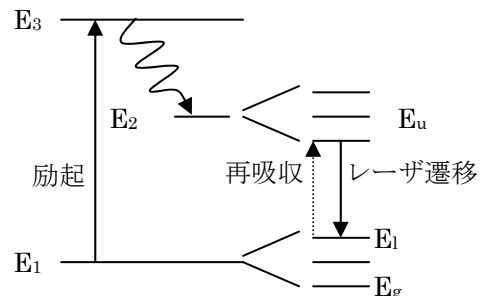


図1 準3準位レーザのエネルギー準位図

### 3. 実験結果

本研究では、Nd:YVO<sub>4</sub>に注目し準3準位動作における最適設計条件について検討した。動作解析の結果、高効率で発振させるためには低いドープ率(Nd:0.1%程度)のNd:YVO<sub>4</sub>結晶を用い、スタッカ型の高ピークパワーのLDにより励起する必要があることがわかった。この解析結果に基づき、レーザロッドは結晶長 22mm、直径 3mm の 0.1%Nd:YVO<sub>4</sub>結晶とし、励起ヘッドはピークパワー1kWのLDを6個使用したサイドポンプ型の構成として、レーザの試作を行った。

まず予備実験として、安価で入手が容易なNd:YAG 結晶(発振波長 1064nm)を用いて動作実験を行った。光学設計は準3準位動作に対して行っているが動作実験は4準位動作で行った。図2はノーマル発振時における入出力特性を示す。実験条件は、LDのパルス幅を 200μs、パルス繰返し周波数を 10Hz、LDの冷却水温度を 29°C とし、また、共振器は平面全反射鏡と平面出力鏡により構成し、共振器長を 150mm とした。励起エネルギー 931mJ、出力鏡反射率 50% の時、最大出力 177mJ が得られた。また、このとき最大変換効率 19% が得られた。

続いて、図3に示される構成により、EO Q スイッチを用いたQスイッチ動作実験を行った。図4はQスイッチ動作時における出力エネルギー及びパルス幅を示す。実験条件は、LDパルス幅 200μs、LD 繰返し周波数 10Hz、LDの冷却水温度を 29°C、全反射鏡の曲率半径を 1m、凸面出力鏡の曲率半径を 5m、共振器長を 500mm、Qスイッチディレイを 205μs とした。また、オプティカルダメージを回避するため、出力鏡の反射率を 20%、励起エネルギーの上限を 653mJとした。励起エネルギー 653mJ の時に、ノーマル発振で 62mJ、Qスイッチ発振で 42mJ の最大出力が得られ、このときQスイッチパルス幅は 11ns であった。現在、Nd:YVO<sub>4</sub>結晶による準3準位動作実験の準備を進めている。

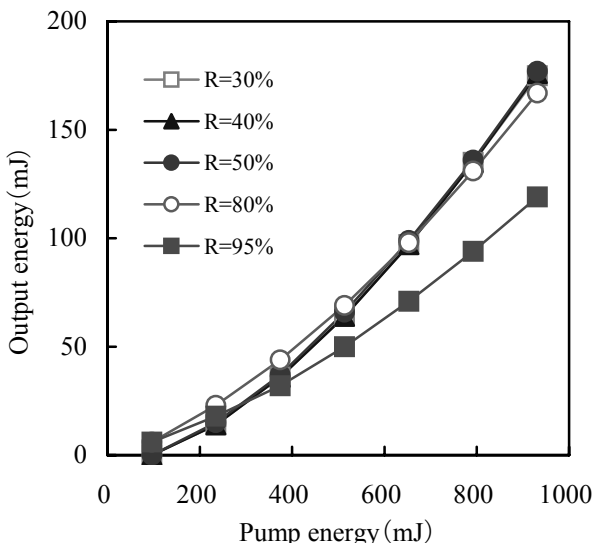


図2 ノーマル発振時における入出力特性

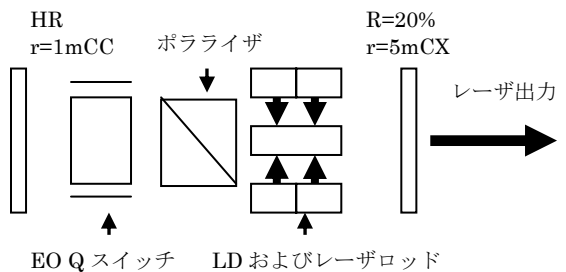


図3 Qスイッチレーザの構成

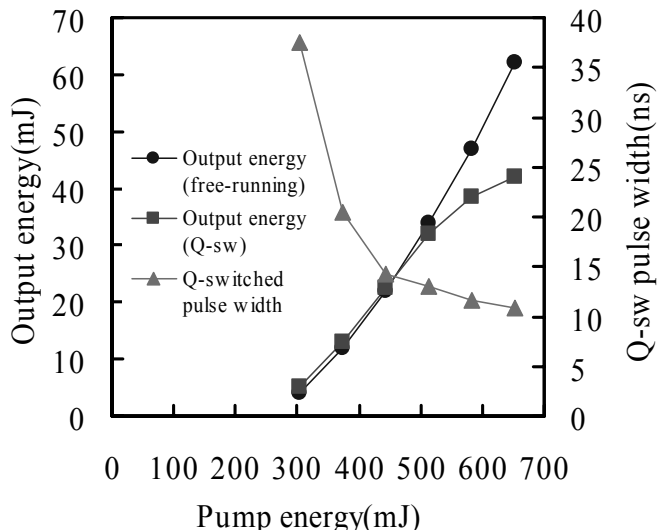


図4 Qスイッチ動作特性

### 4. おわりに

本研究では、シミュレーションに基づき準3準位 Nd:YVO<sub>4</sub>レーザの基礎設計を行い、予備実験として、試作したNd:YAGレーザによる動作実験を行った。今後、レーザロッドをNd:YVO<sub>4</sub>に置き換えることにより、準3準位動作実験を進める。

### 参考文献

- 1) 小林 喬郎, 固体レーザー, 日本分光学会測定法シリーズ (1997).
- 2) P. Blandin, F. Druon, F. Balembois, and P. Georges, Opt. Lett. **31**, 214 (2006).
- 3) T. Kellner, F. Heine, G. Huber, and S. Kuck, Appl. Opt. **37**, 7076 (1998).
- 4) J. Ye, L. S. Me, and J. L. Hall, Opt. Soc. Am. B. **17**, 927 (2000).
- 5) W. C. Liu, S. N. H. Walter, D. L. Veasey, and P. Peskin, Appl. Opt. **39**, 6165 (2000).
- 6) A. Sato, K. Asai, and T. Itabe, Appl. Opt. **37**, 6395 (1998).
- 7) G. J. Koch, B. W. Barnes, J. Y. Beyon, F. Amzajerdian, J. Yu, R. E. Davis, S. Ismail, S. Vay, M. J. Kavaya, and U. N. Singh, Appl. Opt. **43**, 5092 (2004).